



بیست و هفتمین کنفرانس اپتیک و
فوتوونیک ایران و سیزدهمین کنفرانس
مهندسی و فناوری فوتونیک ایران،
دانشگاه سیستان و بلوچستان،
 Zahedan, Iran.
 ۱۶-۱۴ بهمن ۱۳۹۹



کد مقاله : A-۱۰-۱۵۰ ۴-۳

اثر سرعت بر روی تصویر در تصویربرداری گوست محاسباتی جاروبی

سجاد رجبی قلعه، سهراب احمدی کندجانی و رضا خردمند

گروه فوتونیک، پژوهشکده فیزیک کاربردی و ستاره شناسی دانشگاه تبریز، بلوار ۲۹ بهمن دانشگاه تبریز، تبریز

چکیده - در این کار، با اعمال الگوهای کاتورهای به صورت جاروب سطحی / ستونی بر روی جسم مورد نظر، در سرعت و جهت‌های متفاوت، تصویر نهایی بررسی شده است. الگوهای کاتورهای اعمالی به جسم دارای پس‌زمینه با مقادیر کاتورهای و یک سطر / ستون با مقدار شدت زیاد نسبت به پس‌زمینه‌اش در نظر گرفته شده است. نتایج کار هم بصورت تجربی و هم به صورت شبیه‌سازی شده در سرعت و جهت‌های حرکت متفاوت بررسی شده است و نتایج بیانگر این هستند که در حالت حرکت ماتریس کاتورهای و جسم "در راستای هم" بهترین حالت برای تصویربرداری از جسم در بین حالت‌های معرفی شده است. به طوریکه در حالت‌های دیگر مقداری از اطلاعات جسم از بین رفته است.

کلید واژه- اثر سرعت، الگوهای کاتورهای، تصویربرداری گوست محاسباتی جاروبی، جاروب سطحی و ستونی

The Effect of Speed on an image in sweeping computational ghost imaging

Sajjad Rajabi-Ghaleh, Sohrab Ahmadi-Kandjani, and Reza Kheradmand

Photonics group, Institute for Applied Physics and Astronomy, Tabriz, 29 Bahman Blvd, university of Tabriz.

s.rajabi94@ms.tabrizu.ac.ir

s_ahmadi@tabrizu.ac.ir

r_kheradmand@tabrizu.ac.ir

Abstract- In this work, a random patterns are applying a row/column sweep on the object, at different speeds and directions, the reconstructed image is examined. The applied random patterns to an object are considered with values of random background and a row / column with a high intensity. The results of both experimental and simulation results at different speeds and directions of motion have been investigated and the results indicated thatat the case of "the same direction" is the best case, as at the other cases eliminated the amount of the information's object.

Keywords: Random patterns, row and column sweeping, sweeping computational ghost imaging, and the effect of speed,

روش فوق، اثر سرعت را بر روی جسم موردنظر در سرعت و راستاهای مختلف بررسی می‌کنیم. براساس نتایج بدست آمده، مشخص می‌شود که در سرعت‌های پایین براساس میزان سرعت مقداری از اطلاعات جسم از بین می‌رود و در سرعت‌های بالا یک قسمت از جسم دوباره بازسازی می‌شود.

مقدمه

یکی از روش‌های تصویربرداری که در چند سال اخیر مورد توجه دانشمندان قرار گرفته است شبحنگاری است، که یک تصویربرداری "غیر محلی" است. در این روش با جداکردن باریکه منبع اصلی به دو بازوی جسمی و مرجع با استفاده از همبستگی بین دو باریکه، تصویر نهایی بدست می‌آید. به طوریکه در بازوی جسمی، جسم موردنظر قرار گرفته است و شدت عبوری از آن توسط یک آشکارساز تک-پیکسل (بوکت) اندازه‌گیری می‌شود و در بازوی دیگر آشکارساز آرایه‌ای قرار گرفته است که الگوهای کاتورهای اعمالی به جسم را اندازه‌گیری می‌کند و در نهایت با استفاده از همبستگی بین مقادیر دو آشکارساز تصویر جسم بدست می‌آید. در ابتدا منبع مورد نیاز برای تصویربرداری گوست، کوانتمومی بود که به تصویربرداری گوست کوانتمومی معروف است. بعدها با استفاده از منبع نور حرارتی نیز تصویربرداری گوست انجام شد، که به تصویربرداری گوست کلاسیکی معروف است [۶-۱].

تئوری

همانطور که در بالا اشاره کردیم تصویربرداری گوست متشكل از دو بازوی جسمی و مرجع می‌باشد که مقدار شدت اندازه گیری شده در هر بازو به صورت زیر بیان می‌شود.

برای بازوی جسمی شدت‌های عبوری یا انعکاسی از جسم با استفاده از آشکارساز بوکت با استفاده از رابطه زیر اندازه گیری می‌شود [۴]:

$$B_r = \int dx dy I_r(x, y) R(x, y) \quad (1)$$

که در آن

B_r : شدت اندازه گیری شده توسط آشکارساز بوکت

$(x, y) R$: تابع عبور/انعکاس جسم

$I_r(x, y)$: شدت میدان ورودی منبع (و شدتی که توسط آشکارساز بازوی مرجع اندازه گیری می‌شود) است که با استفاده از رابطه زیر بدست می‌آید [۴]:

$$I_r = \left| E^{(in)} e^{i\phi_r(x, y)} \right| \quad (2)$$

سپس با استفاده از همبستگی بین شدت میدان ورودی (الگوهای کاتورهای اعمالی به مدوله کننده فضایی نوری) و شدت اندازه گیری شده به وسیله آشکارساز بوکت، تصویر نهایی تحت رابطه زیر بازسازی می‌شود [۴]:

$$G(x, y) \equiv \frac{1}{N} \sum_{r=1}^N (B_r - \langle B \rangle) I(x, y) = \langle BI(x, y) \rangle - \langle B \rangle \langle I(x, y) \rangle$$

تصویربرداری که در این کار از آن استفاده شده است، تصویربرداری گوست محاسباتی می‌باشد، که برای اولین بار توسط شاپیرو [۵] ارائه و بعدها توسط پیتمن و همکارانش [۶] آزمایش تجربی آن انجام شد که در این روش فقط از مسیر جسمی یعنی فقط از آشکارساز بوکت تک‌پیکسل برای بازسازی تصویر استفاده شده است و به جای مسیر مرجع از اطلاعات اعمالی بر روی SLM استفاده می‌شود.

در سال ۲۰۲۰ روشنی به نام تصویربرداری گوست محاسباتی جاروبی توسط گروه احمدی و همکارانش [۷] ارائه شده است که در آن با استفاده از دو ماتریس جاروبی سطحی و ستونی به تصویر نهایی دست یافت که از مزایای این روش دستیابی به تصویر با کیفیت بالا و همچنین تصویربرداری گوست با سرعت بالا می‌باشد. با استفاده از

نظر گرفتن سرعت و راستاهای متفاوت ماتریس جاروب و حرکت جسم تصاویر بازسازی شده است.

نتایج شبیه‌سازی و عددی

با استفاده از روش تصویربرداری گوست جاروبی، از جسم متحرک در ۴ مورد تصویربرداری صورت گرفته است و نتایج حاصل از آنها در شکل ۱ نشان داده شده است. در حالت شبیه‌سازی و مورد اول: ماتریس جاروب یک پیکسل و جسم نیز به اندازه 0.227×0.227 میلیمتر (برابر با ۱ پیکسل) در راستای هم حرکت می‌کنند. **مورد دوم:** ماتریس جاروب ۲ پیکسل و جسم 0.227×0.227 میلیمتر در راستای هم حرکت می‌کنند. **مورد سوم:** ماتریس جاروب یک پیکسل و جسم نیز به اندازه 0.227×0.227 میلیمتر (برابر با ۱ پیکسل) در جهت خلاف هم حرکت می‌کنند. **مورد چهارم:** ماتریس جاروب ۲ پیکسل و جسم 0.227×0.227 میلیمتر در جهت خلاف هم حرکت می‌کنند. چهار مورد اشاره شده در حالت شبیه‌سازی و تجربی انجام گرفته است و نتایج حاصل از آنها به ترتیب در شکل‌های ۱ و ۲ قابل مشاهده است. همچنین چیدمان به کار گرفته شده برای حالت تجربی در این کار در شکل ۱ قابل مشاهده است.

همانطور که در شکل ۱ مشاهده می‌شود در مورد ۱، ماتریس جاروبی جسم به اندازه یک پیکسل در راستای هم حرکت می‌کنند، تصویر بازسازی شده نشان می‌دهد که هیچ اطلاعاتی از جسم نمی‌توان بدست آورد (نمودارهای سبز رنگ نیز همین موضوع را نشان می‌دهند). در مورد ۲، ماتریس جاروبی ۲ و جسم به اندازه ۱ پیکسل در راستای هم حرکت می‌کنند که از تصویر قابل مشاهده است که طول جسم کشیده تر شده است به خاطر اینکه قسمت هایی از جسم دو بار توسط ماتریس جاروب می‌شوند که این مورد می‌تواند به عنوان بهترین گزینه در بین ۴ حالت برای تصویربرداری از جسم متحرک انتخاب شود. در مورد

〈.) نشان دهنده میانگین آنسامبلی و N تعداد اندازه‌گیری را نشان می‌دهند.

برای رفع مشکل پایین بودن سرعت و بالا بودن زمان تصویربرداری، روش تصویربرداری گوست محاسباتی جاروبی ارائه شده است به طوریکه در این روش از جاروب سطري/استوني الگوهای کاتورهای استفاده شده است. بدین صورت که در یک ماتریس $m \times m$ با پس‌زمینه کاتورهای در نظر گرفته شده است ولی سطري/استون اول این ماتریس با مقدار شدت بالاتر از مقادیر پس‌زمینه انتخاب می‌شود و در هر شاتی که این الگوریتم به جسم تابانده می‌شود سطري/استون موردنظر به سطري/استون بعدی جابجا خواهد کرد بدین معنی که ماکریم تعداد شات ما به ابعاد ماتریس رندوم ما بستگی دارد یعنی به ازای یک ماتریس $m \times m$ ، تصویر نهایی با تعداد $m+m$ شات بازسازی می‌شود.

با در نظر گرفتن تصاویر حاصل از دو ماتریس سطري و استونی، تصویر گوست حاصل از این دو حالت، با استفاده روابط زیر بازسازی می‌شود [۷]:

$$G_{row} = G_1(i, j) \quad (4)$$

$$G_{column} = G_2(i, j)$$

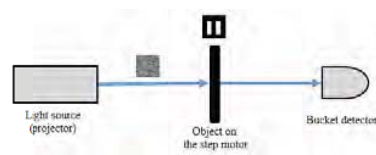
$G_1(i, j)$ و $G_2(i, j)$ بترتیب تصاویر حاصل از ماتریس-های رندوم $b2$ و $b'2$ هستند، G_{row} یک سطر دلخواه از $G_1(i, j)$ و G_{column} یک ستون دلخواه از (i, j) G_2 است.

در نهایت با استفاده از رابطه زیر تصویر بازسازی می‌شود [۷]:

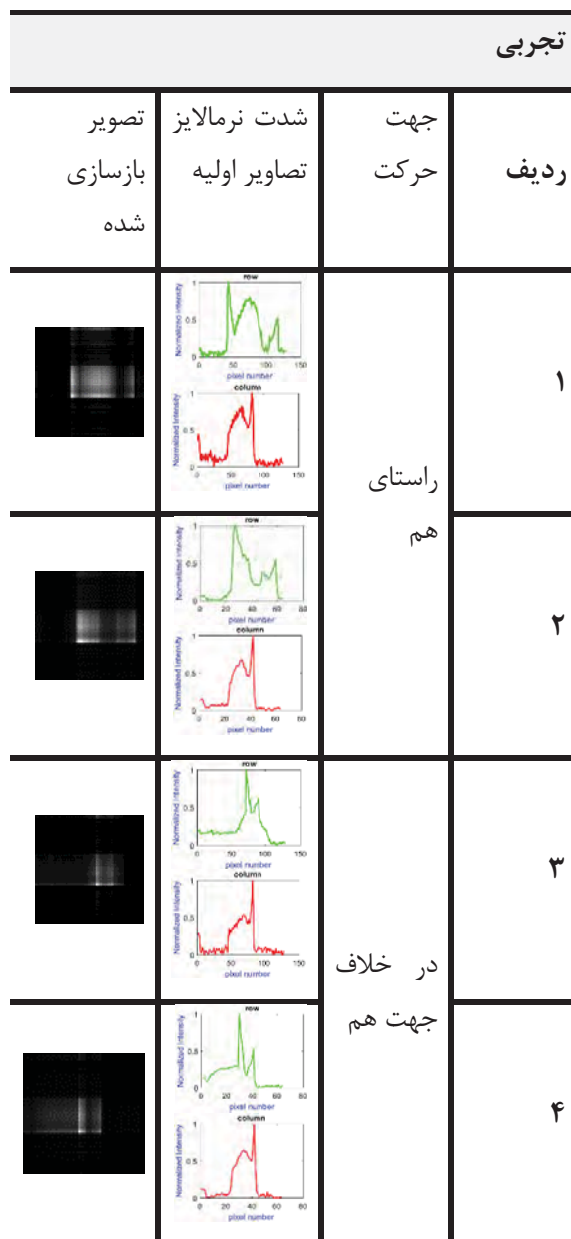
$$G_{final}(i, j) = G_{column} \times G_{row} \quad (5)$$

که \times عملگر ضرب خارجی را نشان می‌دهد.

حال با استفاده از روش معرفی شده در بالا، از جسم متحرک در دو حالت شبیه سازی و تجربی تصویربرداری انجام شده است. در ابتدا یک تصویر دو شکاف به عنوان جسم در دو حالت شبیه‌سازی و تجربی در نظر گرفته شده است که جسم در راستای افقی حرکت می‌کند که با در



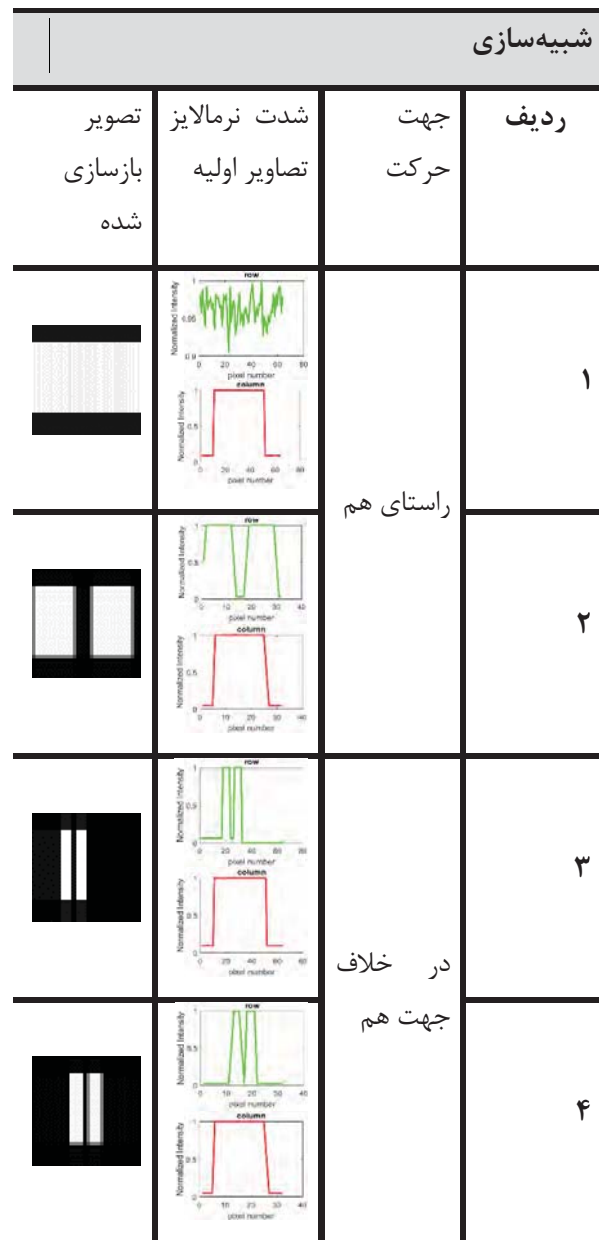
شکل ۲: تصاویر بازسازی شده در حالت شبیه سازی. تصویر سمت چپ در بالای جدول، جسم را نشان می دهد.



شکل ۳: تصاویر بازسازی شده در حالت تجربی. تصویر سمت چپ در بالای جدول، جسم را نشان می دهد.

توضیحات ارائه شده در حالت شبیه سازی برای شکل ۱ و موارد ۱ تا ۴ برای حالت تجربی نیز دقیقاً بیانگر همان

۳، ماتریس جاروبی جسم به اندازه یک پیکسل در خلاف هم حرکت می کنند و تصویر نشان می دهد که مقداری از اطلاعات جسم از بین رفته است. در مورد ۴، ماتریس جاروبی ۲ و جسم به اندازه ۱ پیکسل در خلاف هم حرکت می کنند بنابراین تصویر نشان می دهد که دوباره اطلاعاتی از جسم در دسترس نیست.



شکل ۱: چیدمان تجربی تصویربرداری گوست محاسباتی جاروبی [۷].

توضیح اضافی: تفاوت عمدۀ بین کار حاضر و رفرنس ۷ این است که در این کار اثر سرعت در راستاهای مختلف جسم و ماتریس کاتوره ای بیان شده است در حالی که در رفرنس ۷ ماتریس کاتوره ای ثابت و جسم در یک راستای مشخص در حرکت می‌باشد.

نتایج هستند. بهینه سرعت برای حالت تجربی به اندازه ۲.۷۹ میلیمتر بر ثانیه در مرجع [۷] بدست آمده است که در آن ماتریس کاتوره ای ثابت و جسم فقط در یک راستا حرکت می‌کند.

نتیجه‌گیری

با استفاده از تصویربرداری گوست محاسباتی جاروبی، در این کار، اثر سرعت در راستاهای و مقادیر مختلف بررسی شده است. همانطور که در شکل های ۲ و ۳ مشاهده می-شود اطلاعات تصویر بازسازی شده در هر چهار مورد با نواقصی همراه است که در حرکت در "خلاف جهت هم" مقداری از اطلاعات جسم از بین رفته است و نمی‌تواند اطلاعات کامل از جسم را تشریح کند، اما در حالت "حرکت در راستای هم" اطلاعات اضافی از جسم در تصویر نهایی بازسازی می‌شود (موردن دوم) که تصویر با اینکه شبیه جسم اولیه نیست ولی تقریباً تمامی اطلاعات آن را دارد که می‌تواند بهترین حالت برای تصویربرداری از بین گزینه‌های مطرح شده باشد.

مراجع

- [۱] J. H. Shapiro and B. I. Erkmen, "Ghost imaging: from quantum to classical to computational," *AIP Conf. Proc.* **1110**, (2009) 417–422.
- [۲] R. S. Bennink, S. J. Bentley, and R. W. Boyd, "Two-photon coincidence imaging with a classical source," *Phys. Rev. Lett.* **89**, (2002) 113601.
- [۳] V. Strelkov and V. Sergienko, "Optical imaging by means of two-photon quantum entanglement," *Phys. Rev. A* **52**, (1995) R3429.
- [۴] Bromberg, Yaron, Ori Katz, and Yaron Silberberg. "Ghost imaging with a single detector." *Physical Review A* **79**, no. 5 (2009) 053840.
- [۵] J. H. Shapiro, "Computational ghost imaging," *Phys. Rev. A* **78**, (2008) 061802.
- [۶] Y. Bromberg, O. Katz, and Y. Silberberg, "Ghost imaging with a single detector," *Physical Review A*. no. May, (2009) pp. 05384.
- [۷] Rajabi-Ghaleh, S.OlyaeefarB, Kheradmand R, and Ahmadi-Kandjani S. "Ultra-fast vivid computational ghost imaging of still and moving objects by sweeping random patterns." *Journal of Optics* **22**, no. 9 (2020): 095701.